

## چکیده

در بیشتر مطالعات مربوط به اندرکنش گسلش- خاک- فونداسیون- سازه، تنها فونداسیون مدل شده و اثر سازه با روش هایی مانند سختی معادل یا اضافه نمودن سریار معادل آن در مدل سازی ها دیده شده و از مدل سازی مستقیم سازه در مدل های آزمایشگاهی و عددی خودداری شده است. لذا به نظر می رسد مدل سازی مستقیم سازه بتواند در ک بهتری از تأثیر حضور سازه- فونداسیون بر نحوه انتشار گسلش سطحی<sup>۱</sup> و همچنین بر نحوه عملکرد اعضای مختلف سازه در حین گسلش را امکان پذیر سازد. در این تحقیق مدل سازی عددی دو بعدی سازه- فونداسیون- آبرفت با اعمال گسلش سطحی معکوس به صورت شبکه استاتیکی، در حالت قاب های دو دهانه دارای پی نواری با تعداد طبقات ۳ و ۷، با استفاده از روش اجزای محدود و نرم افزار آباکوس انجام شده و تأثیر عواملی نظیر موقعیت قرار گیری سازه، تعداد طبقات و ضخامت فونداسیون در این پدیده اندرکنشی به صورت پارامتریک مورد مطالعه و بررسی قرار گرفته است. بر این اساس بحرانی ترین موقعیت قرار گیری، برای حالتی است که سازه بر روی فرادیواره و در فاصله ۱۵ تا ۲۵ متری از محل رخمنون گسلش میدان آزاد<sup>۲</sup> قرار می گیرد. تأثیر افزایش تعداد طبقات (افزایش سربار) از نظر تغییر شکل های ایجاد شده در سازه در مواجهه با پدیده گسلش در حالت های مختلف قرار گیری سازه متفاوت می باشد، اما از نظر تغییرات نیروهای داخلی اعضای سازه ای، افزایش تعداد طبقات باعث ایجاد مقادیر نیروی برشی و لنگر خمشی بزرگ تری در طول تیر طبقات و فونداسیون سازه ها در اثر اعمال گسلش می شود. افزایش ضخامت فونداسیون نیز باعث کاهش مقادیر نیروی برشی و لنگر خمشی ایجاد شده در اعضای سازه ای نظیر تیرها در اثر اعمال گسلش می گردد، در نتیجه می تواند به عنوان یک راهکار مناسب در جهت عملکرد بهتر سازه در مواجهه با پدیده اندرکنشی سیستم کوپل، مورد توجه قرار گیرد.

**واژگان کلیدی:** گسلش معکوس، اندرکنش گسلش- خاک- سازه، اجزای محدود.

## مطالعه عددی اندرکنش گسلش- آبرفت- قاب ساختمانی دو دهانه

### محمد داوودی (نویسنده مسئول)

استادیار پژوهشگاه بین المللی زلزله شناسی و مهندسی زلزله، تهران

### مهندی سليمانی

دانشجوی کارشناسی ارشد مهندسی زلزله، پژوهشگاه بین المللی زلزله شناسی و مهندسی زلزله، تهران،

soleymani@iies.ac.ir

### محمد کاظم جعفری

استاد پژوهشگاه بین المللی زلزله شناسی و مهندسی زلزله، تهران

سطحی و یا انحراف مسیر گسلش در اثر حضور سازه گزارش شده است [۳]. این امر بیانگر تأثیر متقابل گسلش سطحی، سازه و فونداسیون بر یکدیگر است.

در تحقیقات پیشین، مطالعه در زمینه انتشار گسلش، از سه جنبه مطالعات میدانی [۱-۲] و مدل سازی فیزیکی با آزمایش های سانتریفیوژ و ۱g [۴-۵] و مدل سازی عددی [۶-۸] انجام شده

تجربیات زلزله های گذشته نظیر ترکیه و تایوان (۱۹۹۹) موارد بسیاری از تخریب یا آسیب دیدگی سازه های مختلف نظیر ساختمان ها، سدها، راه ها و پل ها تحت تأثیر پدیده گسلش سطحی و جابه جایی های ماندگار ناشی از آن ارائه داده است [۱-۲]. با این وجود مواردی از عملکرد مناسب برخی از سازه ها بدون در نظر گرفتن تمهداتی خاص در هنگام گسلش

## -۱ مقدمه

داندی<sup>۳</sup> اسکاتلنده، تعدادی تحلیل پارامتریک بر روی سیستم گسلش نرمال- خاک- فونداسیون- سازه انجام شد و تأثیر عواملی نظیر موقعیت قرار گیری سازه، میزان سربار سازه و جنس خاک بر پاسخ نهایی سیستم کوپل بررسی شده است. سازه های در نظر گرفته شده برای انجام تحلیل های عددی نیز قاب های ساختمانی چهار دهانه با مقاطع تقریبی و مشابه در تمام طبقات، قرار گرفته بر روی فونداسیون گسترده می باشد.

## ۲- مشخصات مدل عددی

با توجه به محدودیت های آزمایش های تجربی در زمینه سطح تنفس و مدل سازی سازه موجود، تحلیل های عددی که بر مبنای نتایج آزمایش های تجربی کالیبره شده باشند، می توانند به عنوان ابزار مناسبی برای بررسی کامل تر و دقیق تر پدیده گسلش و اندر کنش آن با سازه و فونداسیون مورد استفاده قرار گیرند. در این تحقیق، برای مدل سازی قاب های ساختمانی و حرکت گسل در خاک از نرم افزار آباکوس<sup>۴</sup> استفاده شده است. مطالعات بسیاری در زمینه آزمایشگاهی و عددی نشان داده اند که رفتار خاک پس از گسیختگی یک عامل مهم در مسائل وابسته به شکل گیری نوار برشی است. برای مدل سازی این رفتار خاک در آباکوس، یک روش المان محدود غیر خطی با مدل ساختاری الاستوپلاستیک با معیار گسیختگی موهر- کولمب و نرم شدگی کرنش استفاده شده است. بدین منظور تعدادی آزمایش برش مستقیم برای اندازه گیری خصوصیات مکانیکی ماسه در تنفس های درجای مختلف انجام گرفته است. بر این اساس برای >100kPa (یانگر مدل واقعی)، مقادیر زاویه اصطکاک حداکثر و باقیمانده به ترتیب برابر با  $\phi_{peak}=32^{\circ}$  و  $\phi_{res}=30^{\circ}$  می باشد. زاویه اتساع که به میزان زیادی به سطح تنفس همه جانبه مرتبط است برابر با  $\beta=3^{\circ}$  به دست می آید. در مدل آزمایشگاهی ۱g سطح تنفس های همه جانبه بسیار کمتر از مدل واقعی و در حد  $>10kPa$  است که باعث تغییر خصوصیات مکانیکی خاک در تحلیل های عددی کوچک مقیاس می شود. به منظور بررسی اثر کاهش تنفس همه جانبه، زاویه اصطکاک داخلی خاک به میزان قابل توجهی افزایش [۱۱] و به  $\phi_{peak}=45^{\circ}$  تغییر می یابد و بر این اساس خصوصیات نهایی خاک برای استفاده در

است. عمدۀ این بررسی ها بر تعیین مکانیسم های گسیختگی و انتشار گسل در آبرفت و پارامترهای مؤثر بر آن در حالت میدان آزاد و در اندر کنش با فونداسیون مرکز داشته است. بر این مبنای می توان نتیجه گیری کرد که فونداسیون صلب و پیوسته و یا با بار سنگین، تغییر شکل های نامتوازن تکیه گاهی و در نتیجه تخریب کمتری را به سازه منتقل می نمایند و بیش از فونداسیون های تکی یا سبک باعث انحراف مسیر گسلش خواهند شد [۹]. در زمینه تمهیدات ژئوتکنیکی برای مقابله با خطر گسلش سطحی و کاهش تخریب های ناشی از آن نیز مطالعاتی صورت گرفته است که از مهم ترین آنها می توان به کارهای فدایی [۱۰] اشاره نمود. فدایی [۱۰] به منظور حفاظت فونداسیون در برابر گسلش، پیشنهاد استفاده از دیواره بنتونیتی در حد فاصل مسیر انتشار گسل تا فونداسیون را دادند که نتایج آن در بهبود عملکرد فونداسیون بسیار تأثیر گذار بوده است.

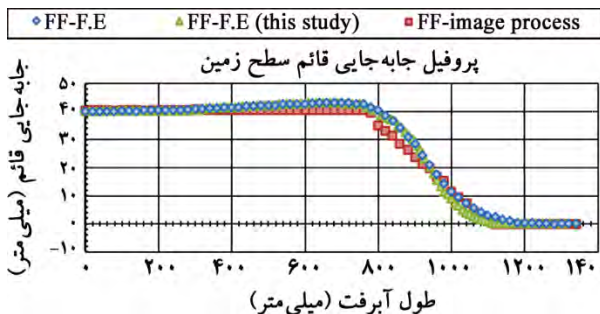
در مجموع بیشتر مطالعات مربوط به اندر کنش گسلش، اکثراً به بررسی مکانیسم انتشار گسلش در آبرفت و اندر کنش آن با فونداسیون پرداخته اند. به عبارتی تنها فونداسیون مدل شده و اثر وجود سازه از روش هایی مانند سختی معادل یا اضافه نمودن سربار معادل در مدل سازی ها دیده شده و از مدل سازی مستقیم سازه در مدل های آزمایشگاهی و عددی، خودداری شده است. با توجه به پیشینه مناسب مطالعات انجام شده، به نظر می رسد مدل سازی مستقیم سازه می تواند در ک بهتری از عملکرد اعضاي مختلف سازه در حین گسلش و همچنین تأثیر تغییر خصوصیات سازه (نظیر موقعیت قرار گیری، تعداد طبقات و...) بر عملکرد کلی سیستم را امکان پذیر سازد.

در زمینه مدل سازی مستقیم سازه نیز مطالعاتی توسط آناستوپولوس و همکاران [۱۱] و هاشمی [۱۲] انجام گرفته است. آناستوپولوس و همکاران [۱۱] به بررسی تأثیر متقابل گسلش سطحی نرمال- سازه، در یک لایه آبرفتی ماسه ای با استفاده از تحلیل های عددی و با مرکز بر نحوه تأثیر گسلش بر سازه پرداختند. در این تحقیق پس از صحبت سنجی نتایج مدل سازی عددی با نتایج آزمایش های سانتریفیوژ انجام شده در دانشگاه

نیروهای برشی از قانون اصطکاک کولمب پیروی می‌کند که امکان مدل‌سازی لغزش فونداسیون بر روی خاک را فراهم می‌نماید [۱۱].

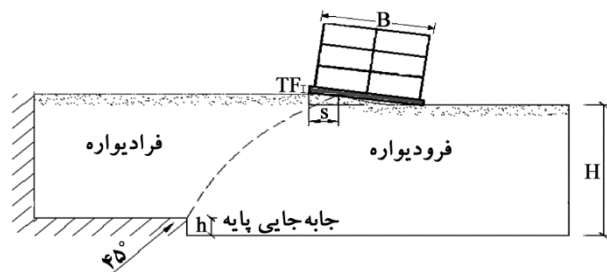
### ۳- صحت‌سنجد

در این بخش با کمک نتایج حاصل از آزمایش انجام شده در پژوهشگاه بین‌المللی زلزله‌شناسی و مهندسی زلزله [۱۲]، مدل‌سازی نظیر به نظری، برای گسل معکوس، در خاک به صورت میدان آزاد و با حضور سازه به‌منظور صحت‌سنجدی صورت گرفته است. مقایسه نتایج به دست آمده از صحت‌سنجدی در حالت آزاد مطابق نمودارهای شکل (۲) تطیق خوبی را نشان می‌دهد. البته در قسمت رخمنون گسلش، شبی منحنی حاصل از روش اجزای محدود اندکی متفاوت با پروفیل واقعی خاک است. دلیل این امر می‌تواند مدل رفتاری انتخاب شده برای تحلیل عددی باشد که ممکن است قادر به مدل‌سازی دقیق رفتار پلاستیک خاک و تغییرات مقادیر پارامترهای مقاومتی نباشد. علی‌رغم این موارد، فرضیات انجام گرفته در ساخت مدل عددی، منجر به ارائه نتایج قابل قبول شده است. در ادامه نتایج مرتبط با صحت‌سنجدی، در حالت حضور سازه در شکل‌های (۳) و (۴) ارائه شده است. چنانچه ملاحظه می‌شود فرم کلی تغییر شکل سازه در هر دو حالت مدل‌سازی عددی و آزمایشگاهی مشابه یکدیگر است و مقایسه نتایج تغییر مکان‌های افقی ایجاد شده در طبقات اول و دوم در اثر اعمال گسلش نشان‌دهنده‌ی پاسخ مناسب مدل عددی و اختلاف قابل قبول نتایج تحلیل عددی با نتایج مدل‌سازی آزمایشگاهی می‌باشد.



شکل (۲): مقایسه پروفیل قائم سطح آبرفت در حالت میدان آزاد با دو روش پردازش تصویری<sup>۹</sup> و اجزای محدود (image process)؛ نتایج مربوط به آزمایش Ig-F.E: نتایج مدل‌سازی عددی مقاله مرجع، (F.E (this study): نتایج مدل‌سازی عددی تحقیق حاضر).

تحلیل‌های عددی کوچک‌مقیاس (صحت‌سنجدی) به صورت  $\phi_{peak}=45^0$  و  $\phi_{res}=35^0$  در نظر گرفته شده است [۱۳]. شکل (۱) تصویری از مدل استفاده شده و متغیرهای مؤثر در تحلیل‌های پارامتریک، در این مطالعه را نشان می‌دهد. برای مدل‌سازی عددی مسئله در تحلیل‌های پارامتریک بزرگ‌مقیاس با فرض تشابه و تقارن سازه در راستای عمود بر گسلش، مسئله به صورت دو بعدی مدل می‌شود. سازه‌های در نظر گرفته شده به‌منظور انجام تحلیل‌ها، به‌وسیله نرم‌افزار ایتس<sup>۵</sup> و با استفاده از آین نامه ۲۸۰۰ و مبحث دهم مقررات ملی ساختمان بارگذاری و طراحی شده‌اند. شرط حصول به نتایج قبل اطمینان، استفاده از مدل رفتاری مناسب و همچنین ابعاد مش به حد کافی ریز است.

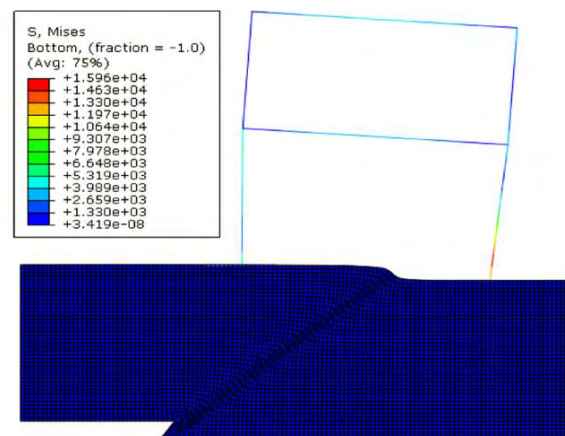


شکل (۱): معرفی متغیرهای مؤثر در تحلیل‌های پارامتریک.

برای آبرفت از مدل ترکیبی الاستوپلاستیک شامل معیار گسیختگی موهر-کولمب همراه با نرم‌شوندگی کرنشی که اشاره شد، استفاده شده است. برای سازه نیز رفتار (الاستیک-پلاستیک کامل) تعریف شده است. برای مشبندی محیط آبرفت از المان‌های مربع چهار گره‌ای و برای تیرها و ستون‌های سازه از المان‌های خطی تیر انعطاف‌بздیری دو گره‌ای و از مصالح فولادی استفاده شده است. ابعاد بهینه مش لایه آبرفت پس از انجام چند تحلیل با ابعاد متفاوت مش، برابر  $1 \times 1$  متر انتخاب شده است، برای سازه نیز ابعاد مش  $0.05 \times 0.05$  متر انتخاب شده است. فونداسیون نیز با استفاده از المان‌های تیر دو گره‌ای و با مصالح بتی الاستیک تعریف شده است. همچنین به‌منظور اتصال فونداسیون به خاک زیر آن از نوعی المان فصل مشترک استفاده می‌شود که در فشار به صورت صلب عمل می‌کند اما به دلیل عدم تحمل نیروی کششی، قابلیت مدل‌سازی جداش فونداسیون از خاک را دارد. رفتار المان‌های فصل مشترک در برابر اعمال

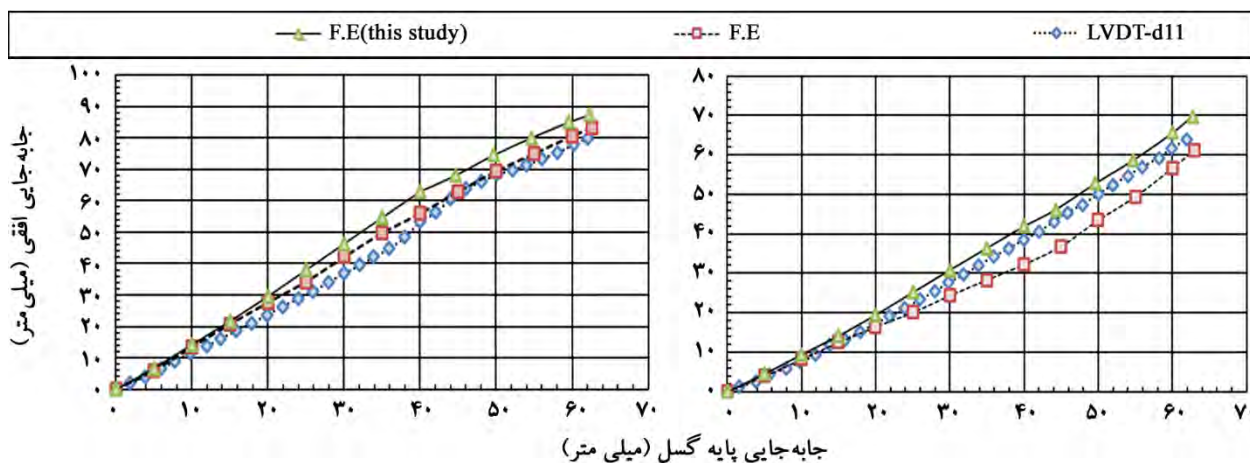


(ب) آزمایش 1g.



(الف) مدل‌سازی عددی تحقیق حاضر.

شکل (۳): تغییر شکل‌های ایجاد شده در سازه و آبرفت در اثر اعمال گسلش.



(الف) طبقه اول.

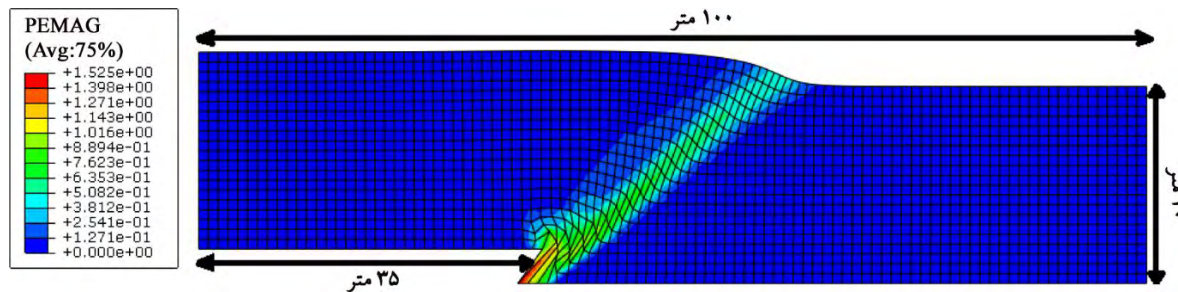
(ب) طبقه دوم.

شکل (۴): مقایسه تغییر شکل‌های افقی حاصل از اطلاعات ثبت شده جابه‌جایی‌سنجه و روش اجزای محدود (LVDT: جابه‌جایی سنج، نتایج مربوط به آزمایش 1g، F.E: نتایج مدل‌سازی عددی مقاله مرجع، F.E(this study): نتایج مدل‌سازی عددی تحقیق حاضر).

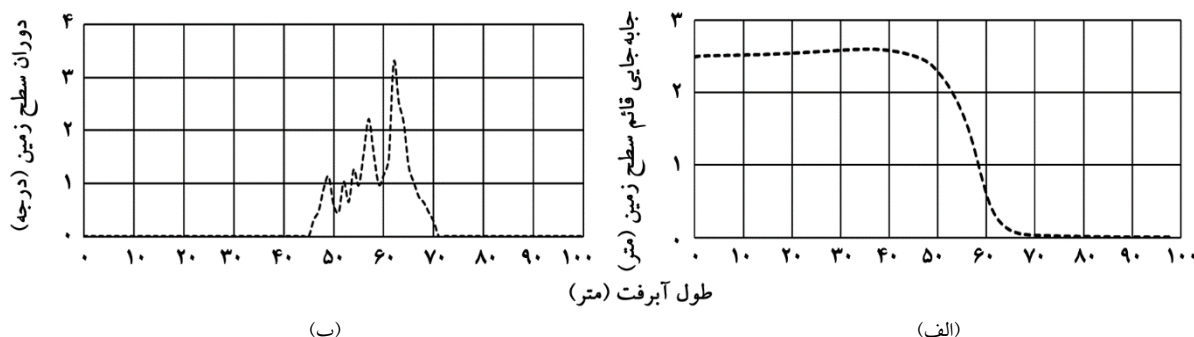
با زاویه ثابت ۴۵ درجه به ماسه خشک اعمال شده است. این مقادیر در همه تحلیل‌های پارامتریک ثابت هستند. در نمودارهای شکل (۶) مشخص است که نقطه عطف نمودار تغییر شکل سطح زمین یا نقطه بیشترین دوران سطح زمین در فاصله ۶۲ متری رخ می‌دهد که این نقطه به عنوان محل بیرون‌زدگی گسلش در سطح زمین مشخص شده است. در بخش‌های بعد منظور از موقعیت‌های در نظر گرفته شده برای سازه (متغیر S)، فاصله این نقطه در میدان آزاد نسبت به سمت چپ فونداسیون می‌باشد.

#### ۴- انتشار گسلش در میدان آزاد

در این بخش ابتدا به منظور مشخص نمودن موقعیت رخنمون گسلش سطحی در حالت میدان آزاد، با استفاده از مشخصات خاک و ابعاد مورد استفاده، یک مدل المان محدود دو بعدی (مدل بزرگ مقیاس) بدون حضور سازه مورد بررسی قرار گرفته است. همان‌طور که در شکل (۵) دیده می‌شود در این حالت طول قسمت متحرک (فرا دیواره<sup>۷</sup>) برابر با ۳۵ متر، طول کل آبرفت برابر با ۱۰۰ متر و ضخامت آبرفت نیز برابر با ۲۰ متر در نظر گرفته شده و گسلش



شکل (۵): مش تغییر شکل یافته- نتایج مربوط به گزنش پلاستیک.



شکل (۶): (الف) تغییر شکل قائم سطح زمین در حالت میدان آزاد، (ب) دوران سطح زمین در حالت میدان آزاد.

گسلش و عبور مسیر گسلش از ناحیه‌ای با مقاومت و سختی کمتر و پخش شدن جابه‌جایی‌های تفاضلی قائم ایجاد شده در سطح زمین ناشی از گسلش، در ناحیه وسیع تری تحت تأثیر قرار عبارتی گسلش ناحیه وسیع تری را در سطح زمین تحت تأثیر قرار می‌دهد. در صورت قرارگیری سازه در ۰ m تا ۱۰ m، سازه به طور کامل در فرودیواره قرار می‌گیرد، تغییر مکان افقی ایجاد شده در بی و مقادیر دریفت نسبی سازه‌ها بسیار کم (کمتر از ۰/۵ درصد) و در محدوده دریفت مجاز ساختمان‌ها (۰/۲٪) می‌باشد، در نتیجه در اثر اعمال گسلش خطر چندانی سازه‌ها را تهدید نمی‌کند. با حرکت سازه‌ها به سمت فرادیواره تا S=25m مقادیر دریفت نسبی سازه‌ها قابل توجه و بسیار بالا و بیش از محدوده دریفت مجاز دریفت ساختمان‌ها می‌باشد. در ادامه‌ی حرکت به سمت فرا دیواره و فاصله گرفتن از رخنمون گسلش میدان آزاد در S بزرگ‌تر مساوی ۳۰ متر، مقادیر دریفت نسبی سازه‌ها بسیار کم (حدود ۰/۵ درصد) و خطر چندانی سازه‌ها را تهدید نمی‌کند. در ادامه نتایج مشابه برای مقادیر چرخش صلب سازه‌ای نیز ارائه شده است.

## ۵- مطالعات پارامتریک

### ۵-۱- بررسی تأثیر موقعیت قرارگیری سازه

تحلیل‌ها در این بخش برای سازه ۳ طبقه با ضخامت فونداسیون ۷۰ سانتی‌متر در هشت موقعیت قرارگیری سازه نسبت به محل رخنمون گسلش میدان آزاد انجام شده است. لازم به ذکر است که در این تحقیق، همه تحلیل‌ها برای قاب‌های ساختمانی با دهانه‌های ۵ متری (دو دهانه)، قرار گرفته بر روی بی‌نواری به طول ۱۰ متر انجام شده و بار مرده خطی طبقات نیز برابر با ۱/۵ تن بر متر در نظر گرفته شده است. در جدول (۱)، نحوه انتشار گسلش در آبرفت، میزان دوران و دریفت نسبی سازه در موقعیت‌های مختلف قرارگیری سازه در جابه‌جایی گسلش ۲/۵ متر نشان داده شده است. همان‌طور که مشاهده می‌شود قرار گرفتن سازه در موقعیت‌های مختلف نسبت به رخنمون گسلش میدان آزاد می‌تواند باعث انحراف مسیر گسلش و حتی در برخی حالات باعث تشکیل مسیر ثانویه گسلش شود که دلیل اصلی این موضوع نیز وجود حباب تنش (میدان تنش) بزرگ‌تر در زیر فونداسیون‌ها در اثر وزن سازه است که باعث دوشاخه شدن مسیر

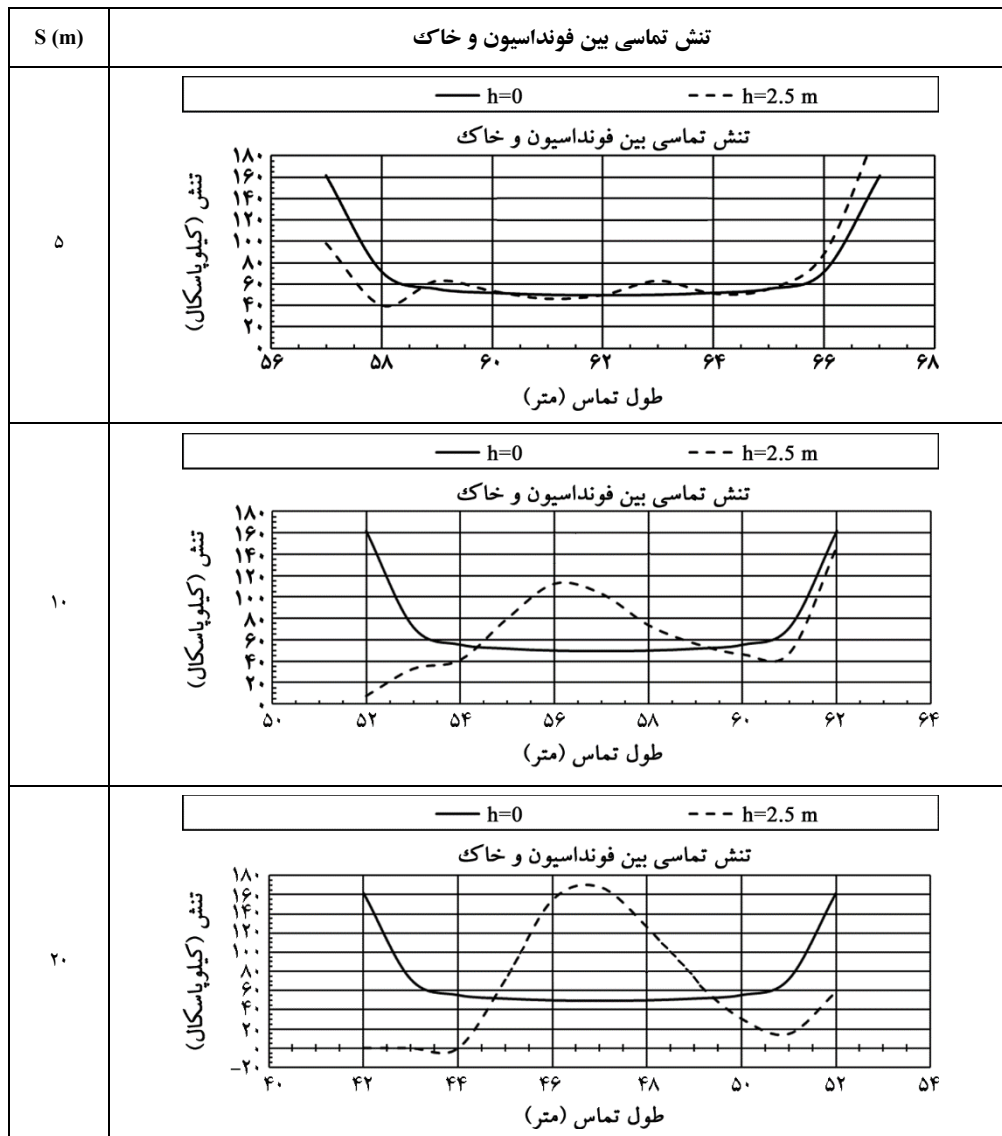
جدول (۱): نحوه انتشار گسلش در آبرفت (نتایج کرنش پلاستیک)، میزان چرخش و دریفت نسبی سازه در جابه‌جایی پایه گسلش ۲/۵ متر.

Free Field ( $h = 2.5\text{m}$ )		موقعیت قرارگیری سازه (شماتیک)	انتشار گسلش در آبرفت نتایج کرنش پلاستیک	دوران صلب سازه (درجه) ( $h = 2.5\text{m}$ )	(%) Drift Ratio ( $h = 2.5\text{m}$ )
S (m)					
-10				۰/۰۷	۰/۱۱
۰				۰/۳۱	۰/۵۴
۲/۵				۲/۶	۴/۵
۵				۴/۹	۸/۱
۷/۵				۶/۲	۱۱
۱۰				۶	۱۰/۴
۲۰				۴/۷	۸/۲
۳۰				۰/۳	۰/۵۴

محدوده ۰ تا  $S=15$  m امکان جدایی فونداسیون از خاک در اثر اعمال گسلش ( $h=2.5\text{m}$ ) وجود دارد. جدایی پی از خاک باعث کاهش تکیه‌گاه پی شده که این موضوع می‌تواند باعث ایجاد اضافه نیرو و لنگر اضافی در اعضای سازه‌ای و فونداسیون به هنگام وقوع گسلش شود.

در جدول (۲) نتایج مربوط به تنش تماسی بین فونداسیون و خاک زیر آن در جابه‌جایی گسلش ۰ و  $۲/۵$  m برای سه حالت قرارگیری سازه بر روی آبرفت به اختصار آورده شده است. با بررسی نمودارها در حالت کلی تر، نتایج حاصل از تنش تماسی در تمام حالات نشان می‌دهد که در صورت قرارگیری سازه در

جدول (۲): نتایج مربوط به تنش تماسی بین فونداسیون و خاک در جابه‌جایی پایه ۰ گسلش و ۲/۵ متر.



در شکل (۷) مشاهده می‌شود که تأثیر تعداد طبقات بر روی

مقادیر پاسخ تغییر شکل سازه در موقعیت‌های مختلف قرارگیری سازه متفاوت و به صورت زیر جمع‌بندی می‌شود:

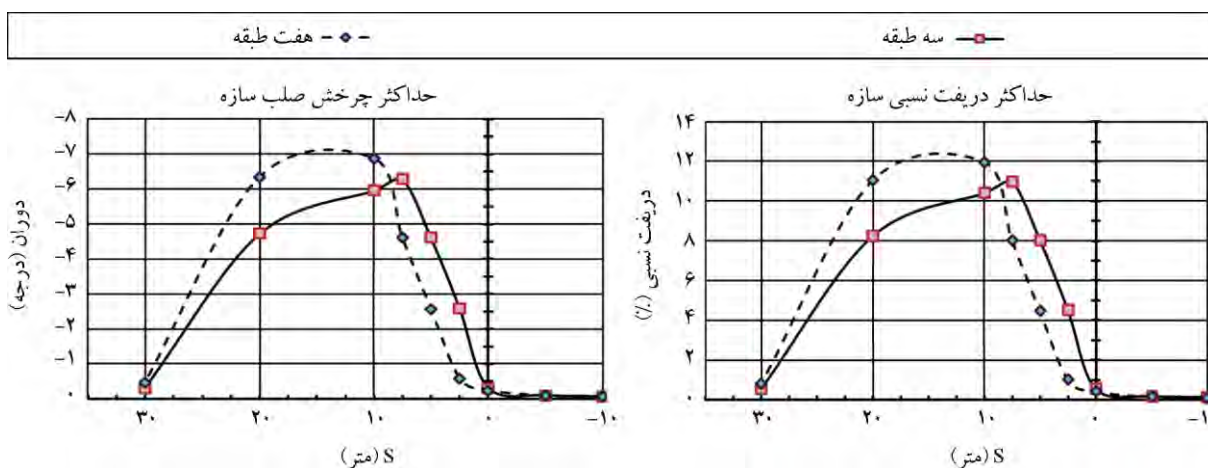
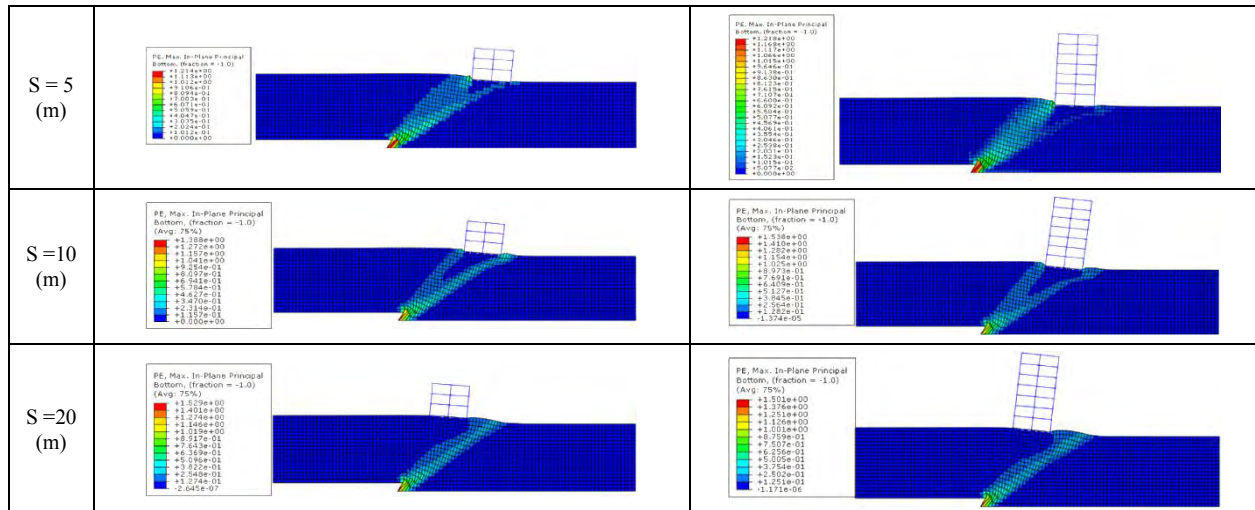
#### (۱-۱) قرارگیری سازه بر روی فرودویواره ( $S \leq 0$ )

- مقادیر دریافت نسبی سازه‌ها بسیار کم (کمتر از ۰/۵ درصد) و در محدوده دریافت مجاز ساختمان‌ها
- افزایش تعداد طبقات (افزایش سریار)=کاهش دریافت نسبی و افزایش عملکرد بهتر سازه‌ها
- خطر چندانی سازه‌ها را تهدید نمی‌کند.

#### ۲-۵ بررسی تأثیر تعداد طبقات سازه

تحلیل‌ها در این بخش برای قاب‌های ساختمانی ۳ و ۷ طبقه با ضخامت فونداسیون ۷۰ سانتی‌متر انجام شده است. به منظور بررسی و تفسیر نتایج تحلیل‌های عددی، در المان‌های سازه‌ای دو دسته از پاسخ‌ها مورد توجه هستند. دسته نخست با نحوه جابه‌جایی سازه در ارتباط هستند که برای نمایش آن از پارامترهایی نظیر مقادیر دریافت ستون‌ها و دوران صلب سازه استفاده می‌شود. دسته دوم پاسخ‌های سیستم سازه که در مطالعه رفتار قاب سازه‌ای اهمیت دارند از جنس نیروهای داخلی اعضای سازه نظیر نیروی برشی و لنگر خمی تیرها و فونداسیون هستند.

جدول (۳): نمونه‌ای از نتایج مربوط به کرنش پلاستیک (نحوه انتشار گسلش در آبرفت و تأثیر آن روی قاب‌های ساختمانی ۳ و ۷ طبقه)، جابه‌جایی پایه ۲/۵ متر - ضخامت فونداسیون ۷/۰ متر.



شکل (۷): نتایج حداکثر مقادیر دریفت نسبی و چرخش صلب سازه‌ها در موقعیت‌های مختلف قرارگیری برای جابه‌جایی گسلش ۲/۵ متر.

#### نسبی و کاهش عملکرد مناسب سازه‌ها

- امکان ایجاد آسیب‌های جدی در سازه‌ها وجود دارد.
- مقادیر دریفت نسبی سازه‌ها بسیار کم (حدود ۰/۵ درصد)
- افزایش تعداد طبقات (افزایش سریبار)= کاهش دریفت نسبی سازه‌ها
- خطر چندانی سازه‌ها را تهدید نمی‌کند.

نمودار مشابه برای مقادیر چرخش صلب سازه‌ای نیز در همان شکل (۷) ارائه شده است. بر اساس این نمودارها، روند کلی تغییرات این دو پاسخ با هم همخوانی دارد. در ادامه مقادیر حداکثر خمش و

#### ۲-۲-۵- قرارگیری سازه بر روی فرادیواره ( $S \geq 0$ )

۰ <  $S < 10$  m - ۱-۲-۲-۵

- مقادیر دریفت نسبی سازه‌ها قابل توجه

- افزایش تعداد طبقات (افزایش سریبار)= کاهش دریفت نسبی و افزایش عملکرد بهتر سازه‌ها

- امکان ایجاد آسیب‌های جدی در سازه‌ها وجود دارد.

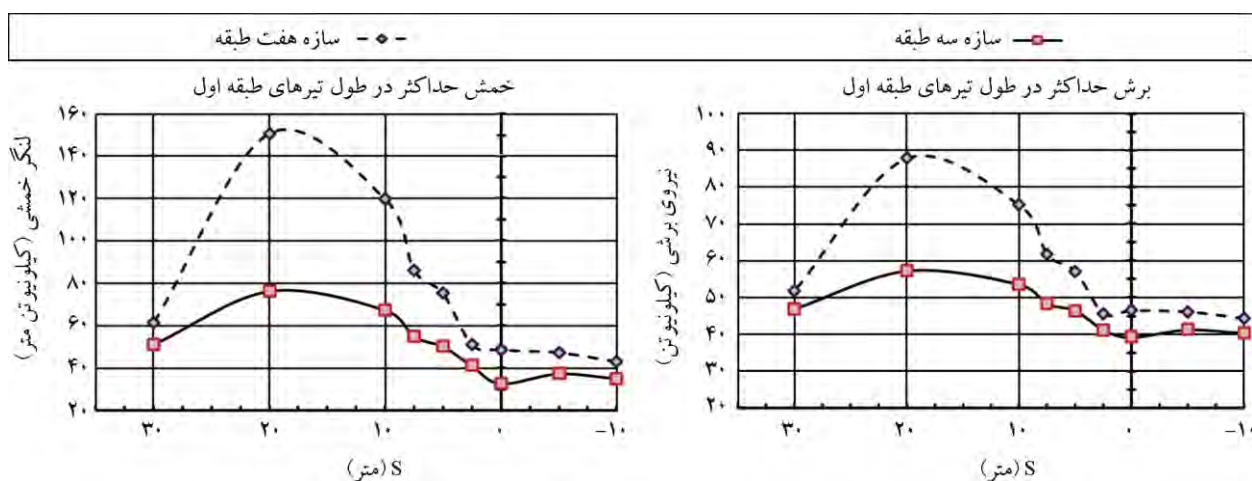
۱۰  $\leq S < 30$  m - ۲-۲-۲-۵

- مقادیر دریفت نسبی سازه‌ها قابل توجه و بسیار بیشتر از محدوده دریفت مجاز ساختمان‌ها

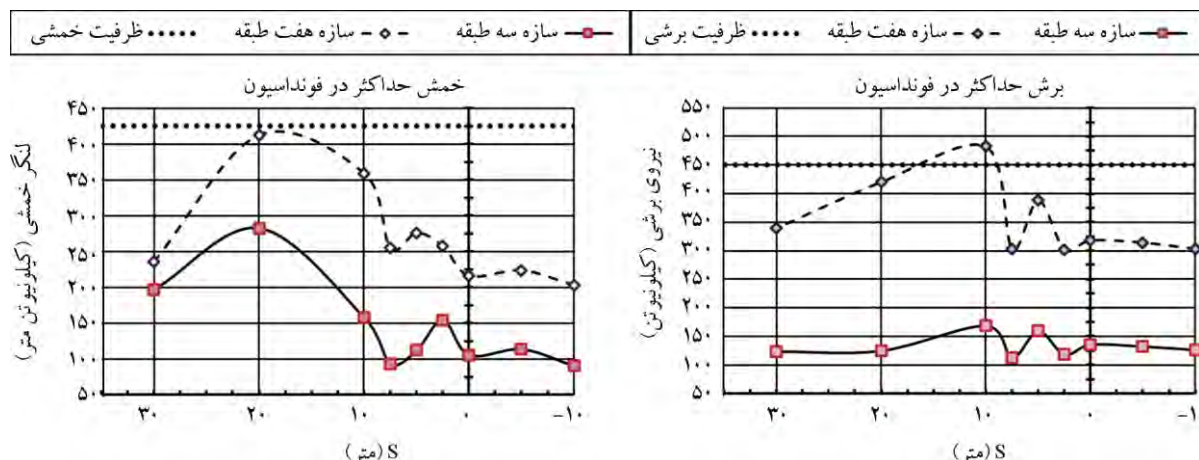
- افزایش تعداد طبقات (افزایش سریبار)= افزایش دریفت

مشابه با حالت مذکور در تیرها، در فونداسیون‌ها مشاهده می‌شود و افزایش تعداد طبقات سازه (افزایش سریار) باعث ایجاد لنگر خمی و نیروی برشی بزرگ‌تری در فونداسیون در اثر اعمال گسلش (h=2.5m) می‌شود، البته در حالت استاتیکی (h=0) نیز در فونداسیون سازه با تعداد طبقات بیشتر نسبت به سازه با تعداد طبقات کمتر این موضوع مشاهده می‌شود و مقادیر نیروهای داخلی ایجاد شده در فونداسیون با افزایش تعداد طبقات (سریار) افزایش می‌یابد. همچنین با توجه به دو نمودار شکل (۹) می‌توان مشاهده نمود که به منظور بررسی پایداری و عملکرد مناسب فونداسیون‌ها در اثر اعمال گسلش، علاوه بر خمی، مقادیر برش نیز بایستی بررسی شوند (تأثیر هر دو بایستی به صورت همزمان در نظر گرفته شود) برخلاف تیرها که در این تحقیق غالباً خمی عامل تعیین کننده در طراحی آنها بوده است. به عنوان نمونه در سازه ۷ طبقه در  $S=10m$  مقادیر لنگر خمی ایجاد شده در فونداسیون‌ها در اثر اعمال گسلش (h=2.5m) کمتر از ظرفیت خمی فونداسیون است، در حالی که مقدار نیروی برشی ایجاد شده در فونداسیون بیشتر از مقدار مجاز نیروی برشی فونداسیون بوده و می‌تواند باعث ایجاد شکست و تخریب در فونداسیون گردد که برای رفع این مشکل یا باید در صد آرماتور یا ضخامت فونداسیون یا هر دو را افزایش داد که در مرحله بعدی این تحقیق، تأثیر افزایش ضخامت فونداسیون روی پاسخ سیستم کوبیل ارائه می‌شود.

برش ایجاد شده در طول تیرهای طبقه اول و فونداسیون سازه‌ها، در موقعیت‌های مختلف قرارگیری سازه در جایه‌جایی گسلش ۲/۵ متر در شکل‌های (۸) و (۹) ارائه شده است. در حالت استاتیکی (h=0) زمانی که گسلش رخ نداده است، با توجه به توزیع بار مرده خطی یکسان در طول تیر طبقات قاب‌های ساختمانی ۳ و ۷ طبقه، توزیع مقادیر خمی و برش در طول تیرهای تمام طبقات مشابه و یکسان می‌باشد ولی با وقوع گسلش سطحی و ایجاد جایه‌جایی‌های تفاضلی در سطح زمین و تأثیرگذاری بر قاب‌های ساختمانی، همان‌طور که در نمودارهای شکل (۸) مشخص می‌باشد با افزایش تعداد طبقات، حداکثر خمی و برش ایجاد شده در طول تیر طبقات، بر اثر اعمال گسلش (h=2.5m) افزایش می‌یابد. الگوی تغییرات لنگر خمی و برش حداکثر در طول تیرهای سازه‌های ۳ و ۷ طبقه مشابه است. همچنین مقادیر حداکثر لنگر خمی و نیروی برشی ایجاد شده در اعضای سازه‌ها در  $S=20m$  نسبت به سایر حالات قرارگیری سازه‌ها نسبت به محل رخمنون گسلش میدان آزاد بیشتر می‌باشد که دلیل اصلی آن نیز ایجاد جدایش بین فونداسیون و خاک زیر آن (با توجه به نمودارهای توزیع تنش تاماسی بین فونداسیون و خاک) می‌باشد که باعث کاهش تکیه گاه و در نتیجه ایجاد اضافه نیرو و لنگرهای اضافی در اعضای سازه‌ای می‌شود که می‌تواند نشان‌دهنده بحرانی ترین حالت قرارگیری سازه نسبت به محل رخمنون گسلش میدان آزاد باشد. در شکل (۹) روندی



شکل (۸): مقادیر حداکثر لنگر خمی و نیروی برشی در طول تیرهای طبقه اول سازه‌ها در موقعیت‌های متفاوت قرارگیری سازه و برای جایه‌جایی پایه ۲/۵ متر و ضخامت فونداسیون ۰/۷۰ متر.

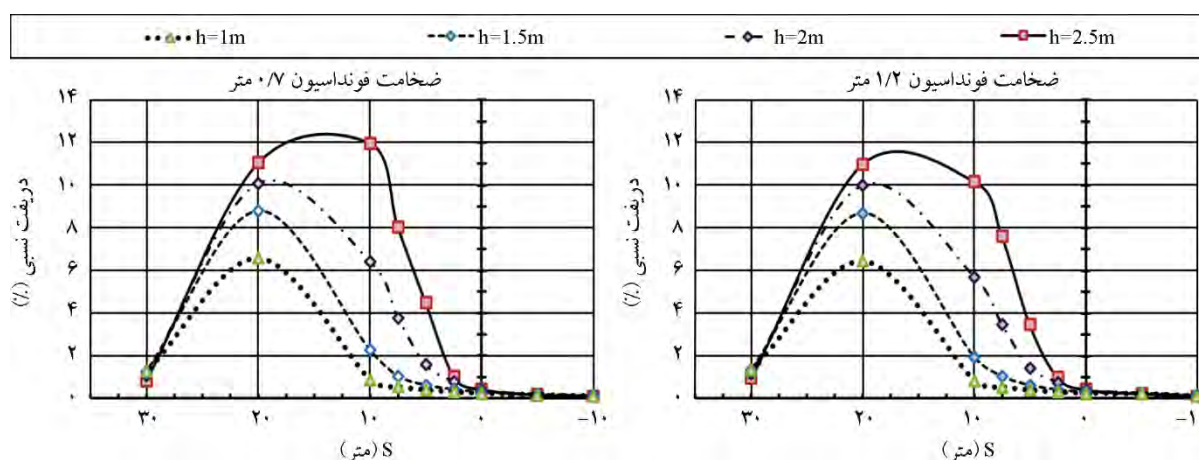


شکل (۹): مقادیر حداکثر لنگر خمی و نیروی برشی در فونداسیون سازه‌های متفاوت قرارگیری سازه و برای جایه‌جایی پایه ۰/۲۵ متر و ضخامت فونداسیون ۰/۷ متر.

هستند. دلیل وجود این مقادیر زیاد دریفت، سختی نسبتاً بالای فونداسیون و شکل هندسی آن (فونداسیون نواری<sup>۴</sup>) است که باعث می‌شود تغییر مکان‌های تفاضلی ناشی از گسلش سطحی، به جای تبدیل به تغییر مکان‌های نسبی و تفاضلی زیاد در سازه، تنها به چرخش صلب سازه متوجه گردد. چنین مقادیر بالایی از دریفت ستون‌ها که ناشی از چرخش صلب سازه هستند منجر به ایجاد خرابی‌های سازه‌ای گسترده در اعضای باربر سازه نخواهد شد اما می‌توانند باعث ایجاد اختلال در خدمت‌رسانی سازه و عملکرد سیستم تأسیسات آن شوند. از سوی دیگر افزایش ضخامت فونداسیون تأثیر چندانی بر نتایج پاسخ دریفت ستون‌ها نداشته است و نمی‌توان از آن به عنوان راه حلی برای کنترل جایه‌جایی‌های نسبی سازه استفاده نمود.

### ۳-۵- بررسی تأثیر ضخامت فونداسیون

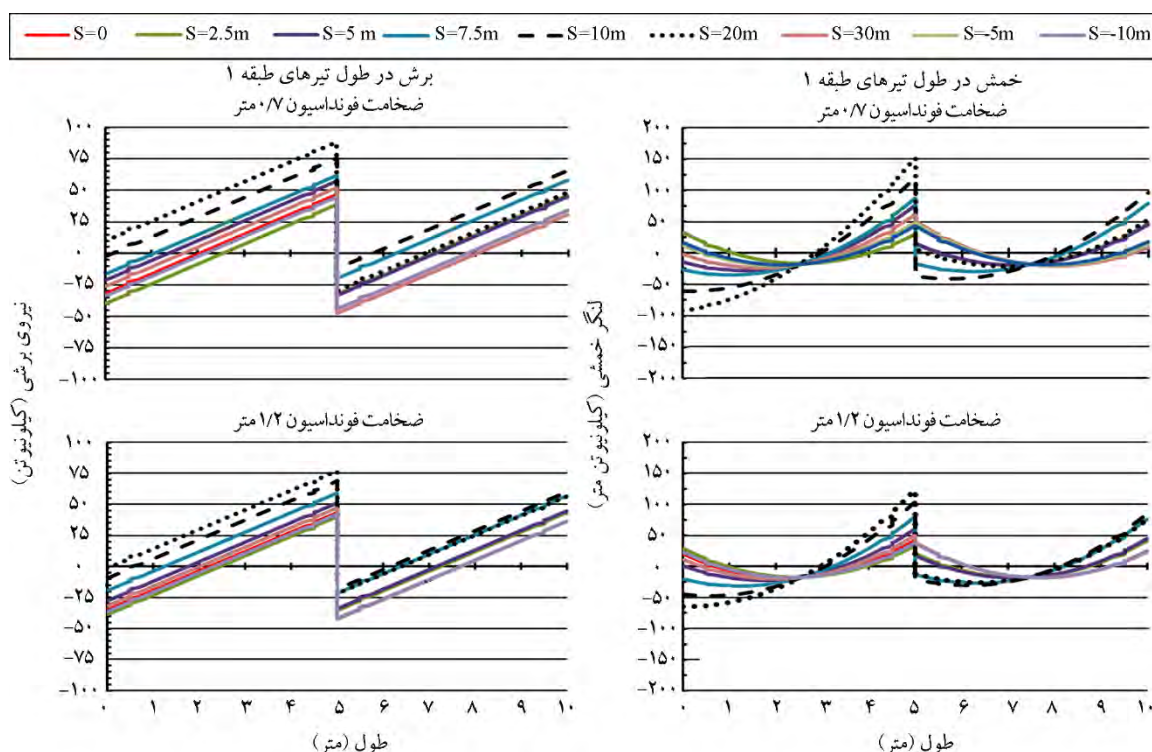
برای بررسی تأثیر تغییر ضخامت فونداسیون بر پاسخ‌های سیستم کوبیل در حالت اعمال گسلش، تحلیل‌های سازه ۷ طبقه، با دو ضخامت متفاوت فونداسیون (۱.۲m و ۰.۷m) (TF=0.7 و 1.2) انجام شده است. برای بررسی و تفسیر نتایج تحلیل‌های عددی، تعدادی از پاسخ‌های اساسی در المان‌های فونداسیون و اعضای سازه‌ای بررسی شده‌اند. مقدار دریفت نسبی ستون محور وسط سازه برای دو ضخامت فونداسیون ۰/۷ و ۱/۲ سانتی‌متر نیز در شکل (۱۰) نشان داده شده است. مقدار حداکثر دریفت در جایه‌جایی پایه ۰/۲۵ متر و TF=0.7m برابر با ۱۱/۶ درصد و در حالت TF=1.2m برابر با ۱۱/۲ درصد است. این مقادیر بسیار بالا و بیش از محدوده دریفت مجاز سازه‌های ساختمانی



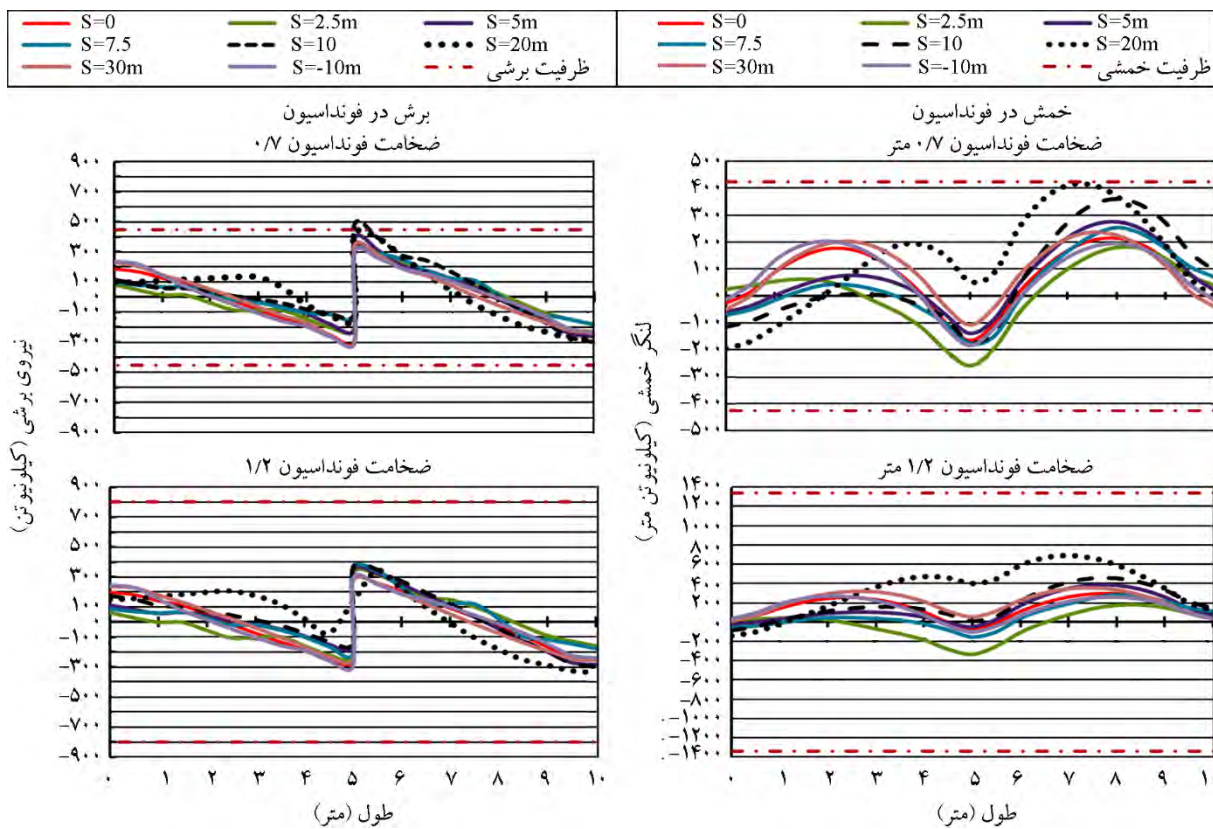
شکل (۱۰): تأثیر ضخامت فونداسیون بر مقادیر دریفت نسبی، برای سازه ۷ طبقه در موقعیت‌های متفاوت (S) و مقادیر مختلف جایه‌جایی پایه (h).

همچنین ملاحظه می شود که مقدار لنگر خمثی فونداسیون، حاصل از اعمال گسلش، با افزایش ضخامت فونداسیون از  $0.7$  به  $1/2$  متر، افزایش چشمگیری در حدود  $65$  درصد پیدا کرده است. در ادامه در همان شکل  $(12)$  مشاهده می شود که نیروی برشی ایجاد شده در فونداسیون با ضخامت  $0.7$  سانتی متر در اثر اعمال گسلش به مقدار  $500$  کیلونوتون می رسد که این مقدار از حد اکثر نیروی برشی که فونداسیون برای آن طراحی شده (ظرفیت برشی فونداسیون) بیشتر است و می تواند منجر به ایجاد شکست و تخریب فونداسیون گردد، در صورتی که در حالت  $TF=1.2m$  حد اکثر نیروی برشی ایجاد شده در فونداسیون کمتر از ظرفیت برشی فونداسیون و در محدوده مجاز می باشد. همچنین مشاهده می شود که برش ایجاد شده در فونداسیون، حاصل از اعمال گسلش، با افزایش ضخامت فونداسیون از  $0.7$  به  $1/2$  متر در حدود  $25$  درصد کاهش پیدا کرده است. در انتهای این بخش، این موضوع بایستی ذکر شود که مقدار درصدی کاهش و افزایش خمث و برش ارائه شده، متناسب با افزایش ضخامت فونداسیون از  $0.7$  به  $1/2$  متر می باشد و بدیهی است که تغییرات متفاوت ضخامت فونداسیون، می تواند روی این مقدار درصدها تأثیر گذارد.

در ادامه تأثیر اعمال گسلش بر پاسخ لنگر خمثی و نیروی برشی تیرهای طبقه اول سازه  $7$  طبقه با دو ضخامت فونداسیون  $0.7$  و  $1/2$  متر بررسی شده است. در شکل  $(11)$  مشاهده می شود که لنگرهای تکیه گاهی همچنین نیروی برشی ایجاد شده در تیرهای طبقه اول در حالت  $S=20m$  تا  $S=10m$  برای هر دو ضخامت فونداسیون، بیشترین مقدار را دارند و این مقادیر در سازه با ضخامت فونداسیون کمتر ( $TF=0.7m$ ) بیشتر می باشد. افزایش ضخامت فونداسیون از  $0.7$  متر به  $1/2$  متر باعث کاهش حدوداً  $20$  درصد حد اکثر مقدار لنگر و کاهش  $14$  درصد مقدار نیروی برشی ایجاد شده در تیر طبقه اول در اثر اعمال گسلش ( $h=2.5m$ ) شده است. در شکل  $(12)$  تأثیر اعمال گسلش بر پاسخ لنگر خمثی و نیروی برشی فونداسیون سازه  $7$  طبقه با دو ضخامت فونداسیون  $0.7$  و  $1/2$  متر بررسی شده است. چنانچه مشاهده می شود، مقدار حد اکثر لنگر خمثی برای فونداسیون با ضخامت  $0.7$  سانتی متر برابر با  $41/5$  نیوتون متر و تقریباً برابر بال لنگر حد اکثری است که فونداسیون برای آن طراحی شده است، در صورتی که در حالت  $TF=1.2m$  حد اکثر لنگر ایجاد شده در فونداسیون کمتر از لنگر حد اکثر طراحی آن و در محدوده مجاز می باشد.



شکل  $(11)$ : توزیع مقادیر لنگر خمثی و نیروی برشی تیرهای طبقه اول برای  $9$  موقعیت قرارگیری سازه  $7$  طبقه، جایه جایی پایه  $2/5$  متر و ضخامت فونداسیون  $0.7$  و  $1/2$  متر.



شکل (۱۲): توزیع مقادیر لنگر خمی و نیروی برشی فونداسیون برای ۹ موقعیت قرارگیری سازه ۲ طبقه جابه‌جایی پایه ۲/۵ متر و ضخامت فونداسیون ۰/۷ و ۱/۲ متر.

اعمال گسلش ( $h=2.5m$ ) بسیار کم و در محدوده مجاز می‌باشد و خطر چندانی سازه را تهدید نمی‌کند؛ اما در صورت قرارگیری سازه بر روی فرادیواره و نزدیک محل برون‌زد گسلش ( $S<30m$ ) مقادیر جابه‌جایی افقی و دوران سازه و فونداسیون قابل توجه (بیش از مقادیر مجاز ساختمانی) می‌باشد و امکان ایجاد آسیب‌های جدی در سازه‌ها وجود دارد، در این حالت تأثیر افزایش تعداد طبقات (سریار) بر روی نتایج متفاوت و بدین صورت می‌باشد که در صورت قرارگیری سازه در ناحیه،

(a)  $S<10m$ : افزایش تعداد طبقات = کاهش مقادیر دریفت، دوران و افزایش عملکرد بهتر سازها

(b)  $10 \leq S < 30m$ : افزایش تعداد طبقات = افزایش مقادیر دریفت، دوران و کاهش عملکرد بهتر سازها بنابراین در صورتی که امکان پرهیز از احداث سازه در ناحیه

## ۶- نتیجه‌گیری

۱- بحرانی ترین موقعیت قرارگیری، برای حالتی است که سازه بر روی فرادیواره و در فاصله ۱۵ تا ۲۵ متری از محل رخمنون گسلش میدان آزاد ( $S$ ) قرار می‌گیرد. در این حالت در اثر اعمال گسلش سطحی، جداشی بین فونداسیون و خاک زیر آن در گوشه سمت چپ فونداسیون ایجاد می‌شود. جداشی فونداسیون از خاک، باعث کاهش تکیه گاه فونداسیون و در نتیجه توزیع تنש و لنگرهای اضافی در اعضای سازه‌ای و فونداسیون می‌شود که می‌تواند حتی باعث ایجاد آسیب و تخریب اعضای سازه‌ای و فونداسیون در جابه‌جایی پایه گسلش بالاتر شود.

۲- در صورت قرارگیری سازه بر روی فرودیواره ( $S \leq 0$ ) یا بر روی فرادیواره و دور از محل رخمنون گسلش ( $S \geq 30m$ )، مقادیر جابه‌جایی افقی و دوران سازه و فونداسیون در اثر

- Engineering*, **6**(4), 607-628.
5. Moosavi, S.M. (2010). *Engineering Measures Seeking to Build Buildings in Dip-Slip Fault Zones Active*. Ph.D. Dissertation, University of Iran, International Institute of Earthquake Engineering and Seismology (in Persian).
  6. Anastasopoulos, I., Gazetas, G., Bransby, M.F., Davies, M.C.R. and El Nahas, A. (2007) Fault Rupture Propagation through Sand: Finite-Element Analysis and Validation through Centrifuge Experiments. *Journal of Geotechnical and Geoenvironmental Engineering*, ASCE, **133**(8), 943-958.
  7. Yilmaz, M.T. and Paolucci, R. (2007) Earthquake Fault Rupture- Shallow Foundation Interaction in Undrained Soils: a Simplified Analytical Approach. *Earthquake Engineering & Structural Dynamics*, **36**(1), 101-118.
  8. Loukidis, D., Bouckovalas, G.D. and Papadimitriou, A.G. (2009) Analysis of Fault Rupture Propagation Through Uniform Soil Cover. *Soil Dynamics and Earthquake Engineering*, **29**(11), 1389-1404.
  9. Gazetas, G., Pecker, A., Faccioli, E., Paolucci, R., and Anastasopoulos, I. (2008) Preliminary Design Recommendations for Dip-Slip Fault–Foundation Interaction. *Bulletin of Earthquake Engineering*, **6**(4), 677-687.
  10. Fadaee, M. (2013) Proposing Geotechnical Solution to Reduce Reverse Fault Rupture Hazard by Physical and Numerical Modeling. Ph.D. Dissertation, University of Iran, International Institute of Earthquake Engineering and Seismology (in Persian).
  11. Anastasopoulos, I., Callero, A., Bransby, M.F., Davies, M.C.R., El Nahas A, Faccioli E and Rossignol E (2008) Numerical Analyses of Fault–Foundation Interaction. *Bulletin of Earthquake Engineering*, **6**(4), 645-675.
  12. Hashemi, K. (2012) 3D Experimental and Numerical Analysis of Fault Rupture-Soil-Foundation-Structure Interaction. M.Sc. Thesis, National Technical University of Athens.
  13. Salajegheh, A., Davoodi, M., Jafari, M.K., Fadaee,

0< $S$ <30m وجود نداشته باشد، به منظور عملکرد بهتر سازه در صورت وقوع گسلش سطحی معکوس، در ناحیه a احداث سازه با تعداد طبقات بیشتر (سربار بزرگتر) و در ناحیه b روندی مخالف و احداث سازه با سربار کمتر پیشنهاد می‌گردد.  
 ۳- افزایش تعداد طبقات باعث ایجاد نیرو و لنگرهای بزرگتر در اعضای سازه‌ای نظری تیرها و فونداسیون در اثر اعمال گسلش ( $h=2.5m$ ) می‌شود.  
 ۴- افزایش ضخامت فونداسیون تأثیری بر پروفیل قائم سطح خاک، مقادیر دریفت ستون‌ها و چرخش صلب سازه نداشته است.  
 افزایش ضخامت فونداسیون (افزایش سختی فونداسیون) باعث کاهش مقادیر نیروهای داخلی ایجاد شده در اعضای سازه‌ای (نظری تیرها) و به عبارتی کاهش آسیب‌دیدگی و افزایش عملکرد بهتر قاب ساختمانی در مواجهه با پدیده گسلش سطحی به هنگام وقوع زلزله می‌شود. در نتیجه افزایش ضخامت فونداسیون می‌تواند به عنوان یک راهکار مناسب در جهت عملکرد بهتر سازه در مواجهه با پدیده اندرکنیشی سیستم کوپل مورد توجه و استفاده قرار گیرد.

## مراجع

1. Anastasopoulos, I. and Gazetas, G. (2007a) Foundation structure systems over a rupturing normal fault: part I. Observations after the Kocaeli 1999 earthquake. *Bulletin of the Earthquake Engineering*, **5**(3), 253-275.
2. Faccioli, E., Anastasopoulos, I., Gazetas, G., Callero, A. and Paolucci, R. (2008) Fault rupture–foundation interaction: selected case histories. *Bulletin of Earthquake Engineering*, **6**(4), 557-583.
3. Anastasopoulos, I. and Gazetas, G. (2007b) Foundation structure systems over a rupturing normal fault: part II. analysis of the Kocaeli case histories. *Bulletin of the Earthquake Engineering*, **5**(3), 277-301.
4. Bransby MF, Davies MCR, Nahas A and Nagaoka S (2008) Centrifuge Modelling of Reverse Fault–Foundation Interaction. *Bulletin of Earthquake Engineering*

M. (2015) Validation of numerical modeling of surface fault-structure interaction. *7<sup>th</sup> International Conference on Seismology & Earthquake engineering* (in Persian).

### واژه‌نامه

Surface Fault Rupture	۱- گسلش سطحی
Free Field	۲- میدان آزاد
Dundee University	۳- دانشگاه داندی
ABAQUS	۴- آباکوس
ETABS	۵- ایتبس
Image Process	۶- پردازش تصویر
Hanging Wall	۷- فرا دیواره
Strip Foundation	۸- فونداسیون نواری